

表面波伝播時の地盤内応力分布について

東北大学工学部

学生員 ○谷 口 正 明
正会員 柳 泽 栄 司
学生員 大 宮 宏 之

1.はじめに 地震発生時におけるその被害状況は、地盤内の液状化現象の有無に大きく左右される。よって、液状化の発生危険度を判定することは非常に重要である。Seedら多くの先人達によつてその簡易判定法が考案されてきた。(しかししながら、液状化災害の中には、必ずしも実体波だけが説明できないような被害の実例もあり)、表面波の影響を論ずる必要性が指摘されている。本研究は、表面波伝播により発生した地盤内応力に着目し、特にLOVE波についてその影響を考察し、簡便判定方法の提案を試みたのである。

2. 表面波伝播時地盤内応力の算定

(1) 地盤構造推定 解析に用いた地盤構造は、対象とした地点の基盤(S波速度 2000 m/sを目標)に到着ボーリングデータを使用するとして、もしPS波層のデータがなかったり、不十分であら場合には、次のようにして基盤の深さを決定した。まず、地震の加速度波形のフーリエスペクトル(図-2)を描き、そのピークを示す周期にエネルギー極大値を示す群速度(図-3、下側曲線)の極小値とより周期が合うように、基盤の深さを設定する。

(2) 入力地震波 決定された地盤構造を用いて、LOVE波増幅度(図-4)を描き、それが卓越した部分(Medium Response 10^{-8} 以上)の周期のみを取り出し、それ以外の周期のものはカットする。こうして処理した変位波形を入力LOVE波とする。

(3) セン断応力の計算を線形で行う

(4) 2方向のセン断応力(図-1)

参考) の部 両 不变量である Z_{11} と Z_{22} の2乗平均 $Z_L = \sqrt{Z_{11}^2 + Z_{22}^2}$

で1つのセン断応力として表わす

3. Seedの簡易判定法への適用

Seedの簡易判定法で用いられる基盤係数には、地盤中の剛体性を考えたものと面に働く修正セン断応力に対する、実際の地盤が変形する結果の補正係数がある。

$$\text{剛体地盤 } Z_{max} = \alpha_{max} \cdot \rho Z$$

$$\text{実際地盤 } Z'_{max} = \alpha_{max} \cdot \rho Z \cdot k_d$$

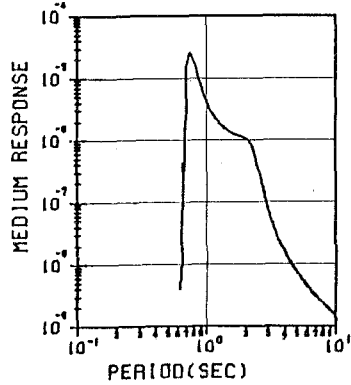


図-4 LOVE波 増幅度

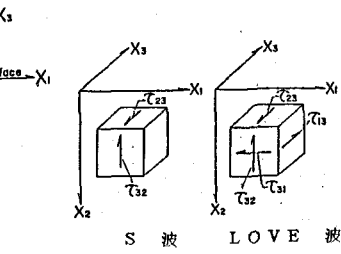


図-1 座標系

例 宮城県沖地震 - 青森港

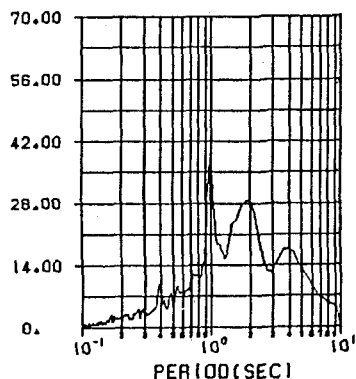


図-2 フーリエスペクトル

LOVE WAVE

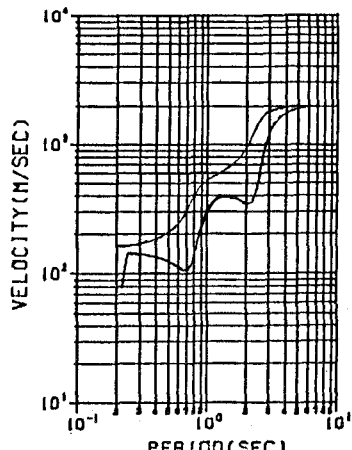


図-3 分散曲線

$$\therefore \frac{Z_d}{\alpha_{max} \cdot g} = \frac{Z_d}{(g_0/g) \alpha_{max}} \quad \alpha_{max} : \text{地表面最大加速度}$$

Seedはこの式を $Z_d = 1 - z/90$ で近似させた

本研究においては、 Z_d を Love 波によるせん断応力 Z_d とし、地表面最大加速度を、Love 波最大加速度 α_L として、表面波におけるせん断応力の補正係数を求め、近似式を作成するのが 1 つの目的である。この場合 α_L は、 α_{max} の繊数 ($\alpha_L = 0.68 \alpha_{max}$ 、図-5) で表わすこととし、従来の Seed の簡易判定法に適用させることとする。今回、入力変形と 17、十勝沖、宮城県沖、日本海中部の各地震を選び、のべ 17 地点について Z_d を計算してプロットしたのが図-6 である。これより Z_d を

$$Z_d = 2.467 \exp[-0.07z]$$

と近似する（図-6 の曲線参照；折れ線は宮城県沖地震の青森港におけるもの）。

この近似式を使えば、表面波伝播時における地盤中に発生する等価せん断応力 Z_d は、下の式により容易に計算され、又一方で、

$$\frac{Z_d}{g_0} = 0.65 \frac{\alpha}{g} \frac{Z_d}{\alpha_L} Z_d$$

従来から的方法である、地盤の N 値、有効上載荷、地震のマグニチュードより液状化抵抗を計算すれば、液状化発生に用いる安全率

$$F_L = \frac{Z_d / g_0}{Z_d / \alpha_L}$$

を求めることができる。図-7 は、従来の Seed の簡易判定法との比較であつて、場所は八郎潟干拓堤防 FD 5 地点（青森県）である。日本海中部地震の際には液状化の被害があった所である。黒丸は、室内線返し三軸試験で得られた液状化抵抗を、岩崎・龍岡の方法に代入して安全率を算出したものである。このグラフからわかるように、新しく設定した近似式を使うと Seed のものよりかなり危険側に移るが、実験値を使った岩崎・龍岡の方法で求めた安全率と一致する部分が多いようと思われる。また、安全率は 10m 附近で逆転している。これは今回設定した近似式が表面波から導いてきたものであるので、深いほど当然地盤応力が少なくてなり安全率を増加させ結果となるものである。よって、地表から 10m 附近までは表面波を考慮しない安全率を、それ以下では従来の実体波の安全率を使うことが望ましい。

4. あとがき この研究では、表面波による液状化の危険度の判定法を提案したが、向を導く時、表面波のみの応力を考慮、実体波の応力を考慮していよい。これは、一般に表面波は実体波より遅いので、同時に到着するとは考えにくく、また、地表面付近に着目しているので、実体波の影響とは分離して考えてみる。

参考文献
1) 神山真一：地震時ににおける地盤内の応力ひずみの評価 土木学会論文報告集 第 250 号
2) 田中道之：八郎潟干拓堤防における液状化試験結果について 室内試験法および試験結果の解釈と適用に関する討論会論文集

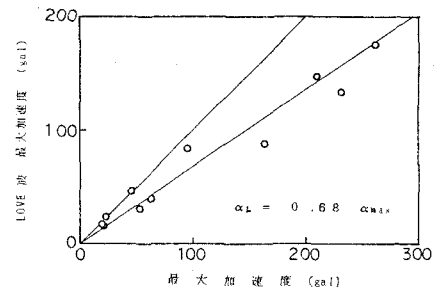


図-5 最大加速度

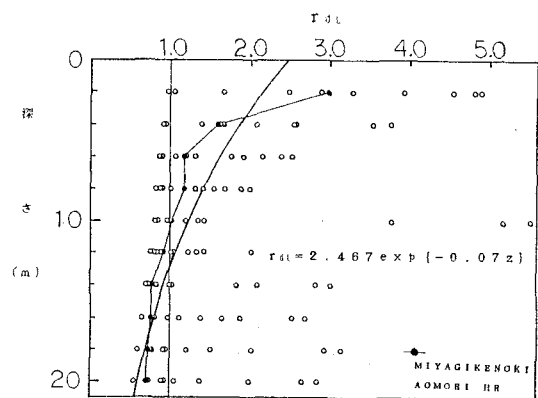


図-6 補正係数

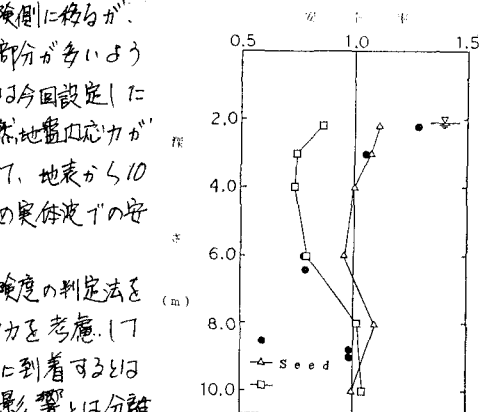


図-7 液状化危険度安全率